

京都大学工学部 正員 松本 賴  
京都大学工学部 正員 白石 成人

1. まえがき 長大橋梁の耐風性を検討する場合に、壳腹板・洞筋板等、周の乱れに起因する空力不規則振動。ように、通常設計風速以下の風速域で発現される空力限定期動の取り扱いが注目されてはいる。これらは空力振動はでまろで抑制されることが望ましいが、現実問題としては非常に難しい。そのため構造物の強度や使用性、また、許容しえる振幅（許容振幅）の設定の妥当性や耐風設計のより指摘されている。この点は、空力限定期動の許容振幅について基礎的考察を加えたものである。

2. 累積疲労度 構造形式、使用鋼材等を考慮することにより、構造物の振動振幅  $a_i$  に対する累積疲労度<sup>1)</sup>は次式によて検討できる。（図1参照）

$$1 \geq \sum_i \frac{n_i}{N_i} \quad (1) \quad , \quad \frac{a_i}{a_0} = \left( \frac{\bar{N}}{N_i} \right)^{\alpha} \quad (2)$$

ただし、  $n_i$ ; 振動振幅  $a_i$  の生起回数、  $N_i$ ; 振動振幅  $a_i$  の疲劳限界回数、  $a_i$ ; 振動振幅、  $a_0$ ; 200万回以下までの回数における疲労限界振幅、  $\bar{N}$ ; 200万回、  $\alpha$ ; S-N 曲線勾配（鋼質高強力鋼 = 1/3、非調質鋼 = 1/4）

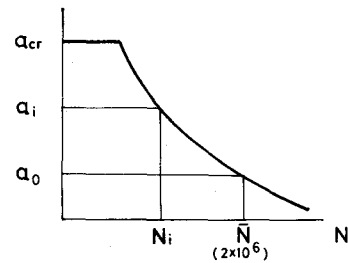


図1. A - N曲線

3. 洞筋振幅に対する許容振幅 洞筋振幅 V-A 図を図2a ように模型（case 1）、三脚型（case 2）にモデル化し、また、風の特性（平均風速、傾斜角、風向）によって生起確率。複数して、また風の状態の生起確率を表現できることをすれば、case 1, case 2 などそれに對する洞筋振幅許容振幅は次式で表わすことができる。

case 1 (模型 V-A)

$$P_{a_1} = a_0 \left( \frac{z \times 10^6}{T_0 \cdot f_0 \cdot p_1 \cdot p_2 \cdot p_3 (U_1, U_2)} \right)^{\alpha} \quad \text{for } P_{a_1} \leq a_{cr} \quad (3)$$

$$P_{a_2} = a_{cr} \quad \text{for } P_{a_1} > a_{cr} \quad (4)$$

case 2 (三角形 V-A)

$$1.0 = \sum_i^{\infty} \frac{f_0 \cdot T_0 \cdot p_1 \cdot p_2}{z \times 10^6} f(U_i) \Delta U \left\{ \frac{P_{a_3}(U_i-U)}{a_0(U_2-U_1)} \right\} \quad \text{for } P_{a_3} \leq a_{cr} \quad (5)$$

$$\text{for } P_{a_3} > a_{cr} \quad (6)$$

但し、  $P(U_1, U_2)$  ; 風速  $U_1 \sim U_2$  間の生起確率、  $f(U_i)$  ; 風速  $U_i$  の確率密度函数、  $T_0$  ; 構造物の耐用年数、  $f_0$  ; 構造物の状態振動モード固有振動数、  $\Delta U$  ;  $U_1 \sim U_2$  間の風速分ヒッチ、  $p_1$  ; 洞筋振幅の生起確率、  $p_2$  ; 洞筋振幅の発生確率、  $p_3$  ; 洞筋振幅の生起確率、  $U_1, U_2$  ; 洞筋振幅開始、終止風速

なお、  $p_3(U_1, U_2)$  、  $f(U_i)$  を Weibull 分布と表すと次のようである。

$$P_3(U_1, U_2) = \exp \left\{ - \left( \frac{U_1}{C} \right)^k \right\} - \exp \left\{ - \left( \frac{U_2}{C} \right)^k \right\} \quad (7) \quad , \quad f(U_i) = \frac{k}{c} \left( \frac{U_i}{c} \right)^{k-1} \exp \left\{ - \left( \frac{U_i}{c} \right)^k \right\} \quad (8)$$

但し、  $k$  ; 形状パラメータ、  $C$  ; 大度パラメータ

4. バフェットイング振動に対する許容振幅 風速による空力不規則振動の標準偏差差（ $\sigma_z$ ）が、風速、自乗比、比例定数とし、主に平均風速  $U_0$  での振動応答振幅。確率密度函数が Rayleigh 分布に従うときとすると、設計風速  $U_D$  以下の風速範囲で、振幅  $\sigma_z$  が  $n_i + 1$  の回数  $n_i$  と確率  $P$  が次式で求められる。（図3参照）

$$P(\eta_i) = \int_0^{U_D} P_1 \left\{ \int_{\eta_i}^{\eta_i + \Delta \eta} g(\eta_i, U_j) d\eta \right\} f(U_j) dU_j \div \int_0^{U_D} P_1 \left\{ g(\eta_i, U_j) \Delta \eta \right\} f(U_j) dU_j \quad (9)$$

$$\text{但し } g(\eta_i, U_j) = \frac{\eta_i}{\sigma_\eta^2} \exp \left\{ -\left( \frac{\eta_i^2}{2\sigma_\eta^2} \right) \right\} = \frac{\eta_i}{(C_1 U)^2} \exp \left\{ -\frac{\eta_i^2}{2C_1^2 U^2} \right\} \quad (10)$$

$f(U_j)$  : 式(8),  $\Delta \eta$  : 部通過破壊振幅  $a_{cr}$ ,  $M$  年分ピット,  $U_D$  : 計算風速,  
 $C_1$  :  $\sigma_\eta$  の  $U^2$  に対する比例定数,  $\sigma_\eta$  : 風速による標準偏差

従って、耐用年数  $T_D$  内での累積疲労の面から限界となるは、

$$1.0 = \sum_i \frac{T_D \cdot f_0 \cdot P(\eta_i)}{N_i} \quad (11) \quad \text{但し } N_i = \bar{N} \cdot \left( \frac{a_0}{\eta_i} \right)^{1/2} \quad (12)$$

を満足する  $C_1$  を決定すればよい。なお、この  $C_1$  に対して、 $U_D$  以下の風速域で、 $T_D$  内にかゝる部通過破壊振幅  $a_{cr}$  が生起回数 1 回を越える場合

では、耐用年数  $T_D$  に  $C_1$  や替えてバフェッティングに付する許容振幅  $a_{cr}$  (図3 バフェッティング振幅  $\eta_i - U$  回,  $f(U_j)$  図)を決定することになる。

5. 使用性による許容振幅 本回検査では自転車および鉄道の振動に対する許容振幅レベルとして、鉛直にかかる場合、すなわち McConnell の加速度が  $0.124 g$ , Jaworsky の重心地盤数  $1.0$  として  $0.2 g$  ( $1 Hz$  以下) を一つの目安としている。長周期 ( $T_0 > 1 sec$ ) 検査の振動に対する使用性に対するの較差はほとんど見られないが、長周期建築構造物については、結果<sup>(2)</sup>を図4 に示す。すなわち Long's Creek Br. の検査途中での各振幅感覚レベル (8 inches,  $0.6 cps$ ) および当局により直線の目標とした振幅レベル ( $0.037 g$ ) を併せて図4 に示す。以上のことから、一応振動加速度レベルの目安値として  $0.15 g$  と定めることにする。

6. 算定計算例 以下に一つの数値計算例を示す。

検査 (連続箱形形式) の条件として、鉛直にかかる耐用年数 ( $T_D$ ) 100 年と  $20$  年、設計風速 ( $U_D$ )  $63 m/sec$ 、部通過破壊振幅 ( $a_{cr}$ )  $0.646 m$ 、 $200$  万回 疲労限界振幅 ( $a_0$ )  $0.199 m$  とし、また自然風の特性としては、風向生起概率 ( $p_1$ )  $0.20$ 、風・傾斜角確率 ( $p_2$ )  $1.0$ 、対するよび湖本。風のワイル分布 ( $C=8.54$ ,  $k=1.78$ ), ( $C=4.17$ ,  $k=1.53$ ) を用い、便に端部振幅は  $U_1$  と  $1.5 U_1$  の間で生じるものとし、図5 は許容振幅、滑面振幅開始風速  $U_1$  についての結果を示す。また表1 は、

設計風速  $U_D$  と鉛直にかかる標準偏差  $\sigma_\eta$  を変化させるとともに、耐用年数  $T_D$  内における累積疲労度、および部通過破壊振幅  $a_{cr}$  を計算した結果を示す。結果によると、耐用年数に対する滑面振幅  $a_{cr}$  は、まず風速まで  $U_1$  の増加に伴う、て減少し、極小値を示す以後に、 $U_1$  と共に増大する傾向を示す。一方バフェッティングについては、累積疲労度が  $1.0$  以下である、でも、 $a_{cr}$  を超える回数が 1 回以上になると、これら、風速の分布、振幅の分布によっては疲労率が減少する部通過振幅レベルで検討しなければならない。

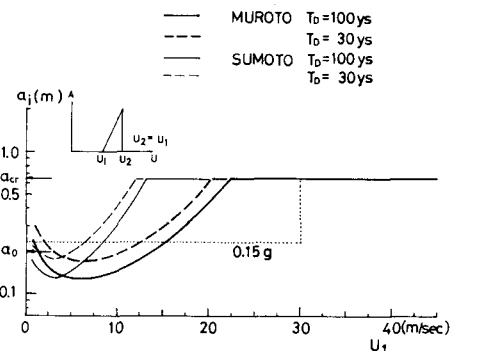
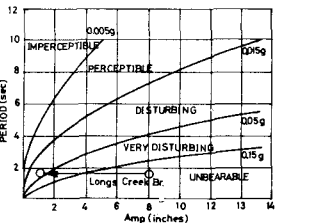
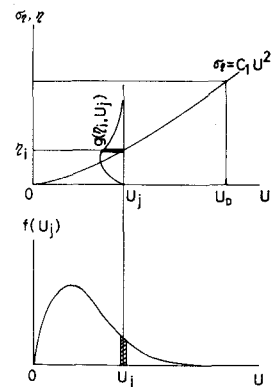


図5 端部振幅 全面にかかる許容振幅 (U<sub>1</sub>) 図

耐用年数	200 万回 疲労限界 a <sub>0</sub> (m)	耐用年数 T <sub>D</sub> (年)	設計風速 U <sub>D</sub> (m/sec)	風の特性 p <sub>1</sub> (at U <sub>D</sub> )	風の特性 p <sub>2</sub> (at U <sub>D</sub> )	風の特性 a <sub>cr</sub> (at U <sub>D</sub> ) (m)	耐用年数度		T <sub>D</sub> 内での F <sub>1</sub> の生起回数 n <sub>cr</sub> (m) n <sub>1</sub> (m)
							F <sub>1</sub>	n <sub>cr</sub>	
0.25	0.199	100	63	0.0358	0.0358	6.3132x10 <sup>-3</sup>	0.646	2.786x10 <sup>-3</sup>	
0.25	0.199	100	63	0.0358/3	0.0358	7.8210x10 <sup>-3</sup>	0.646	2.870x10 <sup>-3</sup>	
0.25	0.199	100	63	0.058	0.058	2.5653x10 <sup>0</sup>	0.646	6.548x10 <sup>-1</sup>	
0.25	0.199	100	63	0.0358	0.0358	7.0300x10 <sup>-3</sup>	0.646	1.914x10 <sup>-3</sup>	
0.25	0.199	30	63	0.0358	0.0358	1.8940x10 <sup>-1</sup>	0.646	8.357x10 <sup>-1</sup>	

表1. バフェッティングに対する許容振幅。検討

参考文献 1) 地, 竹中, 幸野, 本回検査, No.18, 1981, 10

2) Michele G. Melaragno, van Nostrand Reinhold Company, 1982,

3) 美田, 林, 日本気象学会機関誌, 天気, 第26巻, 第10号 (1979)